



## بررسی فرآیندهای اولیه و ثانویه در کانسار منگنز نصیرآباد، جنوب نیریز، با استفاده از کانی‌شناسی و زمین‌شیمی ایزوتوپ‌های سرب

علیرضا زراسوندی<sup>\*</sup>، محسن رضایی، هوشنگ پورکاسب، عادل ساکی

گروه زمین‌شناسی، دانشکده علوم زمین، دانشگاه شهید چمران اهواز

دریافت مقاله: ۱۳۹۱/۵/۵، پذیرش: ۱۳۹۱/۱۱/۲۳

### چکیده

کانسار منگنز نصیرآباد در استان فارس، در هشت کیلومتری جنوب‌غرب نیریز و در پنج کیلومتری جنوب نصیرآباد قرار دارد. این منطقه از لحاظ ساختاری در بخش جنوب‌شرقی زون زاگرس رانده شده واقع شده است. کانه‌زایی منگنز در این منطقه به صورت لایه‌های منگنیزدار و نودول‌های منگنز است که به صورت بین‌لایه‌ای با نهشته‌های چرتی زون رادیولاریتی پیچکان قرار دارد. در این مطالعه، کانی‌شناسی و زمین‌شیمی اورانیم، توریم و ایزوتوپ‌های سرب به منظور بررسی فرآیندهای اولیه و ثانویه به کار گرفته شد. بدین‌منظور، علاوه بر مطالعات پتروگرافی و XRD، برای سنجش اورانیم، توریم و ایزوتوپ‌های سرب، از آنالیز ICP-MS استفاده شد. جدایش شدید فازهای آهن و منگنیزدار و نبود فازهای کانی‌ای آهن‌دار در مطالعات XRD، حضور بلورهای تودوروکیت به صورت همزمان زایش با کوارتز، نسبتهای بالای U/Th در تعدادی از نمونه‌ها و نمودار توریم در مقابل اورانیم، نشان‌دهنده ورود سیالات گرمابی منگنیزدار به حوضه رسوی کانسار منگنز نصیرآباد است. وجود پیرولوزیت به صورت جانشینی در پوسته رادیولاریتها، پرکننده حفرات سنگ میزبان، احاطه کننده باطله و پرکننده شکستگیها در تعدادی از نمونه‌ها، اثبات کننده تأثیرگذاری فرآیندهای برون‌زاد ثانویه بر کانه‌زایی اولیه گرمابی است. وجود مقادیر غیریکنواخت <sup>204</sup>Pb/Pb<sup>207</sup> و <sup>204</sup>Pb/Pb<sup>206</sup> در مقابل <sup>204</sup>Pb/Pb<sup>207</sup> و <sup>204</sup>Pb/Pb<sup>208</sup> نشان‌دهنده نبود فرآیندهای یکنواخت گرمابی در حوضه رسوی است و حاکی از مخلوط‌شدگی ایزوتوپ‌های سرب سیال گرمابی با ایزوتوپ‌های سرب از منشأ ثانویه می‌باشد. وجود ضرایب همبستگی قوی میان مقادیر مطلق ایزوتوپ‌های رادیوزنیک سرب و عناصر نامحلول با میدان پایداری بالا (HFSE) مانند <sup>207</sup>Pb در مقابل <sup>207</sup>Pb (r=0.81)، <sup>207</sup>Pb در مقابل <sup>207</sup>TiO<sub>2</sub> (r=0.93)، <sup>207</sup>Pb در مقابل Th (r=0.79) و همچنین همبستگی قوی این عناصر با پارهای از اجزای مافیک مانند <sup>208</sup>Pb در مقابل Fe<sub>2</sub>O<sub>3</sub> (r=0.94)، <sup>208</sup>Pb در مقابل MgO (r=0.86) نشان‌دهنده ورود سرب رادیوزنیک همراه با مواد آواری مافیک به حوضه رسوی است. وجود روند خطی مشابه میان نسبتهای <sup>206</sup>Pb/Pb<sup>204</sup> در مقابل <sup>206</sup>Pb/Pb<sup>208</sup> و <sup>204</sup>Pb/Pb<sup>207</sup> در نودول‌ها و لایه‌های منگنیزدار، بیانگر وجود شرایط زمین‌شیمی‌ای یکسان در شکل‌گیری نودول‌ها و لایه‌های منگنیزدار است و نشان می‌دهد فرآیندهای شست‌وشو و نهشت‌دوباره منگنز، تأثیری در تغییر نسبتهای ایزوتوپی نداشته‌اند.

**واژه‌های کلیدی:** منگنز، نصیرآباد، کانی‌شناسی، زمین‌شیمی/ایزوتوپ سرب.

آب دریا به کار برده می‌شوند [۱]. در این میان رسویات آهن-منگنیزدار و نودول‌های منگنز به عنوان مهمترین هدف برای مطالعات دیرینه اقیانوس‌شناسی قلمداد می‌شوند [۲]. ایزوتوپ‌های سرب دارای زمان افامت کم (۰-۵۰ سال) در آب اقیانوس می‌باشند [۳] لذا این ایزوتوپ‌ها به عنوان شناساگری حساس در تعیین خصوصیات زمین‌شیمی‌ای محیط عمیق بستر اقیانوس به کار برده می‌شوند [۱]. فرآیندهای عمدۀ کانه‌زایی منگنز در محیط عمیق بستر

### مقدمه

منطقه مورد مطالعه در استان فارس، در ۸ کیلومتری جنوب نیریز و در ۵ کیلومتری جنوب نصیرآباد قرار دارد. کانه‌زایی در این منطقه به صورت نودول‌ها و لایه‌های منگنیزدار می‌باشد که به صورت بین‌لایه‌ای با رسویات چرتی رادیولاریتی معرف رخساره‌های عمیق نتوتیس قرار دارد. امروزه ردباهای ایزوتوپی رادیوزنیک ثبت شده در رسویات به عنوان ابزاری قدرتمند در دیرینه اقیانوس‌شناسی و تعیین چرخه عناصر در

آهک اندریتی سازند تاربور به سن کامپانین- ماسترشین به سمت جنوب دریاچه بختگان به طور ناپیوسته این رادیولاریت‌ها را می‌پوشاند [۱۲]. واحدهای رسوبی ابرتوالی ماسترشین پایانی تا ائوسن پایانی زاگرس شامل مارنهای ژیپس‌دار، آهک، ماسه سنگ و گنگلومرای سازند ساقچون و نیز آهکهای آلتوئلین دار سازند جهرم به طور ناپیوسته سازند تاربور را می‌پوشانند [۱۲].

### روش مطالعه

نمونه برداری از رخمنون لایه‌های منگنزدار، نودول‌های منگنز و سنگ میزان برداشت شد. به منظور حصول بهترین نتایج تعداد نمونه انتخاب و برای انجام آنالیز ایزوتوپ‌های سرب آماده‌سازی شد. کلیه نمونه‌ها توسط آسیاب کاربید تنگستن پودر شدند و در نهایت میزان ۱۰۰ گرم از هر نمونه به منظور ICP-MS انجام آنالیز طیف سنج پلاسمای جفت‌شده القایی به آزمایشگاه ACME در کشور کانادا ارسال شد. در این آزمایشگاه برای سنجش ایزوتوپ‌های سرب  $Pb^{206}$ ،  $Pb^{204}$ ،  $Pb^{207}$  و  $Pb^{208}$  میزان ۱۵ تا ۳۰ گرم از هر نمونه پس از احلال در محلول تیزاب Riga Aqua در معرض طیفسنج ppm پلاسما قرار می‌گیرد. حد تشخیص ایزوتوپ‌های سرب ۱٪ است. مقادیر ایزوتوپ‌های سرب در جدول ۱ نشان داده شده است. مطالعات کانی‌شناسی بر روی تعداد زیادی از مقاطع نازک و صیقلی انجام گرفت. همچنین به منظور انجام مطالعات پراش اشعه ایکس XRD تعداد ۱۲ نمونه به شرکت کانساران بینالود در تهران ارسال شد. نتایج مربوط به آنالیز XRD در جدول ۲ نشان داده شده است.

### کانه‌زایی و کانی‌شناسی

در قسمتهای جنوبی دریاچه بختگان، چرت‌های رادیولاریتی قرمزنگ به صورت قطعاتی از بیگانه سنگ در رسوبات آبرفتی عهد حاضر قرار دارند (شکل ۱). در محدوده کانسار مورد مطالعه لایه‌های کانه‌دار و نودول‌های منگنزدار به صورت بین لایه‌ای با چرت‌های رادیولاریتی قرمزنگ حضور دارند. سنگ میزان و لایه‌های کانه‌دار به شدت شکسته و چین‌خورده می‌باشد. در مقیاس نمونه دستی، نمونه‌ها اشکال لایه‌ای و توهدی دارند. کلیه نمونه‌های کانه‌دار دارای رنگ بنفش تا تیره می‌باشند (شکل ۲).

اقیانوس شامل فرآیندهای گرمابی، آبزاد و دیاژنز می‌باشند [۴]. فرآیندهای گرمابی و آبزادری ترکیب ایزوتوپی سرب مجزا می‌باشند [۵] لذا از ایزوتوپ‌های سرب می‌توان به عنوان کلیدی در جهت بازسازی فرآیندهای اولیه دخیل در کانه‌زایی استفاده کرد. هدف از این مقاله بررسی کانی‌شناسی و زمین‌شیمی ایزوتوپ‌های سرب به منظور بررسی فرآیندهای اولیه و بررسی نقش فرآیندهای ثانویه برون‌زاد دخیل در کانه‌زایی می‌باشد.

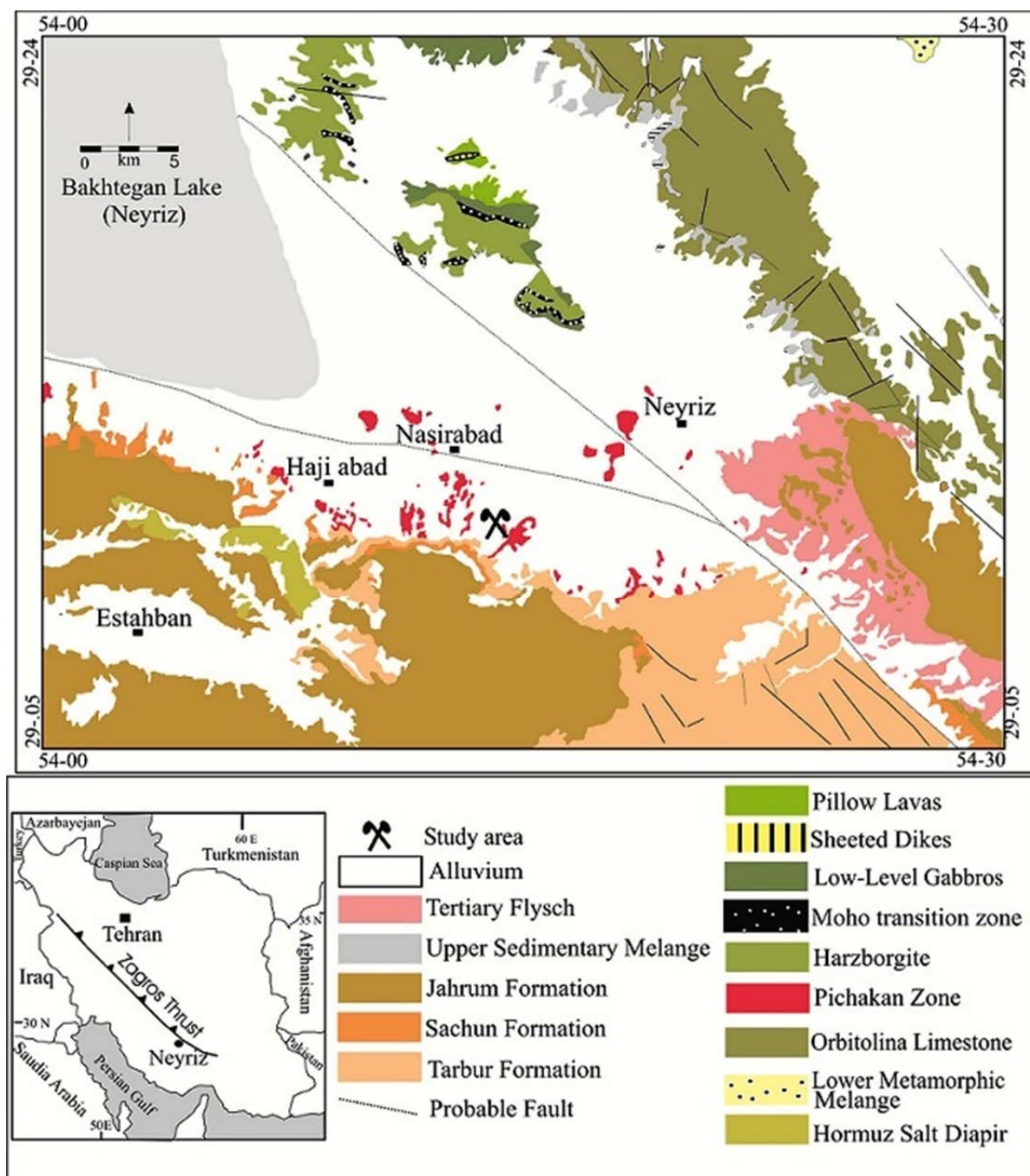
### زمین‌شناسی

منطقه موردمطالعه در حاشیه جنوب شرقی زون زاگرس رانده و در نزدیکی زون دگرگونی سنندج- سیرجان قرار دارد. کانسار مورد مطالعه در ۸ کیلومتری جنوبی غربی شهر نیریز و در مسیر اصلی استهبان به سمت نیریز واقع شده است. دسترسی به این کانسار از طریق مسیر فرعی خاکی به طول ۶۰۰ متر میسر است.

بارزترین جلوه زمین‌شناسی منطقه نیریز حضور افیولیت نیریز است. این افیولیت احتمالاً از بزرگترین و بهترین قطعات حفظ شده نشوتنیس در ایران به شمار می‌رود [۶]. این افیولیت شامل بخش‌های دگرشکل شده گوشه‌ای، منطقه انتقالی موهو (MTZ) و بخش‌های مافیکی شامل گابرو، دایکهای صفحه‌ای، بازالت‌های بالشی و چرت‌های رادیولاریتی در بالاترین قسمت می‌باشد [۷] (شکل ۱). مطالعات اخیر صورت گرفته بر روی سنگها در محیط جزایر قوسی درون اقیانوسی در تشکیل این سنگها در محیط جزایر قوسی درون اقیانوسی در بازه زمانی تریاس پایانی تا کرتاسه پایانی است [۸]. افیولیت نیریز در طول سری رادیولاریتی پیچکان رانده شده است [۹]. رخداد کانه‌زایی در منطقه موردمطالعه به صورت بین لایه‌ای با زون رادیولاریتی پیچکان می‌باشد. زون رادیولاریت پیچکان معرف رخسارهای عمیق اقیانوسی اوخر تریاس تا کرتاسه نئوتنتیس است [۱۰]. این زون در بخش پایینی به تدریج و با الگویی متناوب به لایه‌های چرت رادیولاریتی نازک لایه (کمتر از ۵ سانتی‌متر) و سپس به لایه‌های متعدد تا ضخیمی از یک توالی ضخیم ۵۰۰ متری از رادیولاریت ختم می‌شود. این رادیولاریتها از نظر سنی حداقل جوانتر از ژوراسیک میانی هستند [۱۱].

کروی تا بیضوی شکل رادیولاریتی بهوفور در سنگ میزبان و سکانس‌های کانه‌دار مشاهده می‌شوند. عمده‌ترین فاز باطله کوارتز است که به صورت اولیه یا ثانویه و با شکلهای همچون بلورهای بی‌شکل تا شکل‌دار و یا به صورت فاز پرکننده درز و شکافها حضور دارد.

نتایج مطالعات XRD و مشاهدات میکروسکوپی نشان‌دهنده وجود پاراژنر کانیایی یکنواخت در کلیه نمونه‌ها است (جدول ۲) پیرولوزیت ( $\text{MnO}_2$ ) به صورت عمده‌ترین فاز کانیایی در کلیه نمونه‌ها مشاهده شد، همچنین تودوروکیت  $[(\text{Ba}, \text{H}_2\text{O})_2\text{Mn}_5\text{O}_{10}]$  و پسیلوملان  $(\text{NaMn}_6\text{O}_{12,3}\text{H}_2\text{O})$  به صورت فاز فرعی از همراهان پیرولوزیت می‌باشند. پوسته‌های



شکل ۱. نقشه زمین‌شناسی منطقه مورد مطالعه، با تغییرات از [۶] و [۹].

جدول ۱. داده‌های ایزوتوپی سرب (ppm) در نودول‌ها و لایه‌های منگنزدار نصیرآباد

Sample	La1	La2	La4	La8	La10	N1	N2	N3	Lz	Lz2	Lz5
$^{204}\text{Pb}$	۰/۰۷	۰/۰۶	۰/۰۳	۰/۰۲	۰/۰۲	۰/۰۲	۰/۰۲	۰/۰۱	-	-	-
$^{206}\text{Pb}$	۱/۱۸	۱/۲۳	۰/۴۸	۰/۳۸	۰/۳۹	۰/۳۲	۰/۳۷	۰/۲۳	-	-	-
$^{207}\text{Pb}$	۰/۹۹	۱/۰۳	۰/۴۲	۰/۳۲	۰/۳۳	۰/۲۴	۰/۲۹	۰/۲	-	-	-
$^{208}\text{Pb}$	۲/۴۴	۲/۵۹	۱/۰۴	۰/۸	۰/۸۱	۰/۶۳	۰/۷	۰/۵۱	-	-	-
$^{206}\text{Pb}/^{204}\text{Pb}$	۱۶/۸۵	۲۰/۵	۱۶	۱۹	۱۹/۵	۱۶	۱۸/۵	۲۳	-	-	-
$^{207}\text{Pb}/^{204}\text{Pb}$	۱۴/۱۴	۱۷/۱۶	۱۴	۱۶	۱۶/۵	۱۲	۱۴/۵	۲۰	-	-	-
$^{208}\text{Pb}/^{204}\text{Pb}$	۳۴/۸۵	۴۳/۱۶	۳۴/۶۶	۴۰	۴۰/۵	۳۱/۵	۳۵	۵۱	-	-	-
$^{208}\text{Pb}/^{206}\text{Pb}$	۲/۰۶	۲/۱	۲/۱۶	۲/۱	۲/۰۷	۱/۹۶	۱/۸۹	۲/۲۱	-	-	-
$^{207}\text{Pb}/^{206}\text{Pb}$	۰/۸۳۸	۰/۸۳۷	۰/۸۷۵	۰/۸۴۲	۰/۸۴۶	۰/۷۵	۰/۷۸۳	۰/۸۶۹	-	-	-
Major Oxides (wt%)											
TiO <sub>2</sub>	۰/۰۸	۰/۱۱	۰/۰۵	۰/۰۱	۰/۰۴	۰/۰۲	۰/۰۱	۰/۰۱	۰/۱۶	۰/۰۸	۰/۰۸
Fe <sub>2</sub> O <sub>3</sub>	۱/۱۱	۱/۲۶	۰/۶۵	۰/۱۷	۰/۵۸	۰/۳۳	۰/۳۳	۰/۳۹	۱/۶۴	۰/۹۵	۱
MgO	۰/۵۲	۰/۷۴	۰/۲۸	۰/۰۸	۰/۲۱	۰/۰۹	۰/۰۳	۰/۰۳	۰/۷۱	۰/۴۸	۰/۲
Trace elements (ppm)											
Nb	۲/۱	۱/۹	۲	۱	۱/۲	۰/۸	۰/۷	۰/۸	۳/۲	۲	۲/۵
U	۱/۱	۴/۲	۱	۱/۲	۱/۵	۴/۱	۴/۷	۴/۴	۱/۴	۱/۷	۱/۵
Th	۱/۲	۱/۷	۱/۶	۰/۳	۰/۳	۰/۱	۰/۱	۰/۱	۱/۶	۱/۹	۰/۶
U/Th	۰/۹۱	۲/۴۷	۰/۶۲	۴	۵	۴۱	۴۷	۴۴	۰/۸۷۵	۰/۸۹	۲/۵

جدول ۲. نتایج مربوط به آنالیز XRD برای نودول‌ها و لایه‌های منگنزدار

نمونه	نوع نمونه	فاز اصلی	فاز فرعی	فاز کمیاب
LA1	لایه منگنزدار	کوارتر	تودورکیت	-
LA2	لایه منگنزدار	پیروولوزیت، کوارتر	تودورکیت	کلسیت
LA4	لایه منگنزدار	پیروولوزیت، کوارتر	-	-
LA8	لایه منگنزدار	پیروولوزیت، کوارتر	تودورکیت	-
LA10	لایه منگنزدار	کوارتر	پیروولوزیت، تودورکیت	-
LZ	لایه منگنزدار	کوارتر	پیروولوزیت، تودورکیت	-
LZ2	لایه منگنزدار	کوارتر	پیروولوزیت، تودورکیت	-
LZ5	لایه منگنزدار	کوارتر، پیروولوزیت	تودورکیت	کلسیت
N1	نودول منگنزدار	کوارتر، پیروولوزیت	-	-
N2	نودول منگنزدار	کوارتر	پیروولوزیت	-
N3	نودول منگنزدار	کوارتر	پیروولوزیت	-

با ضخامت متفاوت و به صورت فاز پرکننده درزه و شکستگیها حضور دارد (شکل ۳f). این کانی همچنین به صورت فازهای حلقوی احاطه‌کننده دانه‌های کوارتر (شکل ۳c)، به صورت جانشینی در پوسته رادیولاریتها حضور دارد (شکل ۳e). علاوه‌بر این بلورهای پیروولوزیت به صورت بلورهای دانه‌ریز و

پیروولوزیت: این کانی با آنیزوتropی شدید، رخ نامنظم تا منظم و رنگ زرد تا قهوه‌ای به آسانی در نمونه‌ها قابل مشاهده است. نیز به صورت فازهای احاطه‌کننده باطله (شکل ۳d) و نیز به صورت پرکننده فضاهای خالی باطله (شکل ۳a) قابل مشاهده است. پیروولوزیت همچنین به صورت رگه و رگه‌چههای

تودورکیت به طور گستردۀ در ذخایر منگنز منشأ گرفته از بروندمهای گرمابی گزارش شده است [۱۳]. در نمونه‌های مطالعه شده این کانی به صورت بلورهای بسیار دانه‌ریز و با سیمای همزمان زایش با بلورهای کوارتز مشاهده شد (شکل ۳). بنابر گفته [۱۴] تودورکیت همچنین می‌تواند از هوازدگی سایر اکسیدهای منگنز تشکیل شود. این کانی در کلیه نمونه‌های دارای سیمای ثانویه، توسط آنالیز XRD تشخیص داده شد که این موضوع می‌تواند نشان‌دهنده تأثیر فرآیند هوازدگی ناچیز در خلال فرآیندهای ثانویه باشد.

تیغه‌ای کوچک و همچنین بلورهای توسعه‌یافته و با رخ مشخص به صورت همزمان زایش با کوارتز (شکل ۳g) قابل مشاهده می‌باشند. این کانی به صورت بلورهای تیغه‌ای کوچک و نیز بلورهای سوزنی به صورت ادخال در میان باطله مشاهده شد (شکل ۳h). مشاهدات میکروسکوپی نشان‌دهنده سیماهای همزمان زایش (به صورت دانه‌ریز و دانه‌درشت) با کوارتز و نیز سیماهای ثانویه برای پیرولوژیت می‌باشد.

تودورکیت: این کانی به صورت فاز فرعی در اکثر نمونه‌ها، عمده‌تاً توسط آنالیز XRD تشخیص داده شد. حضور



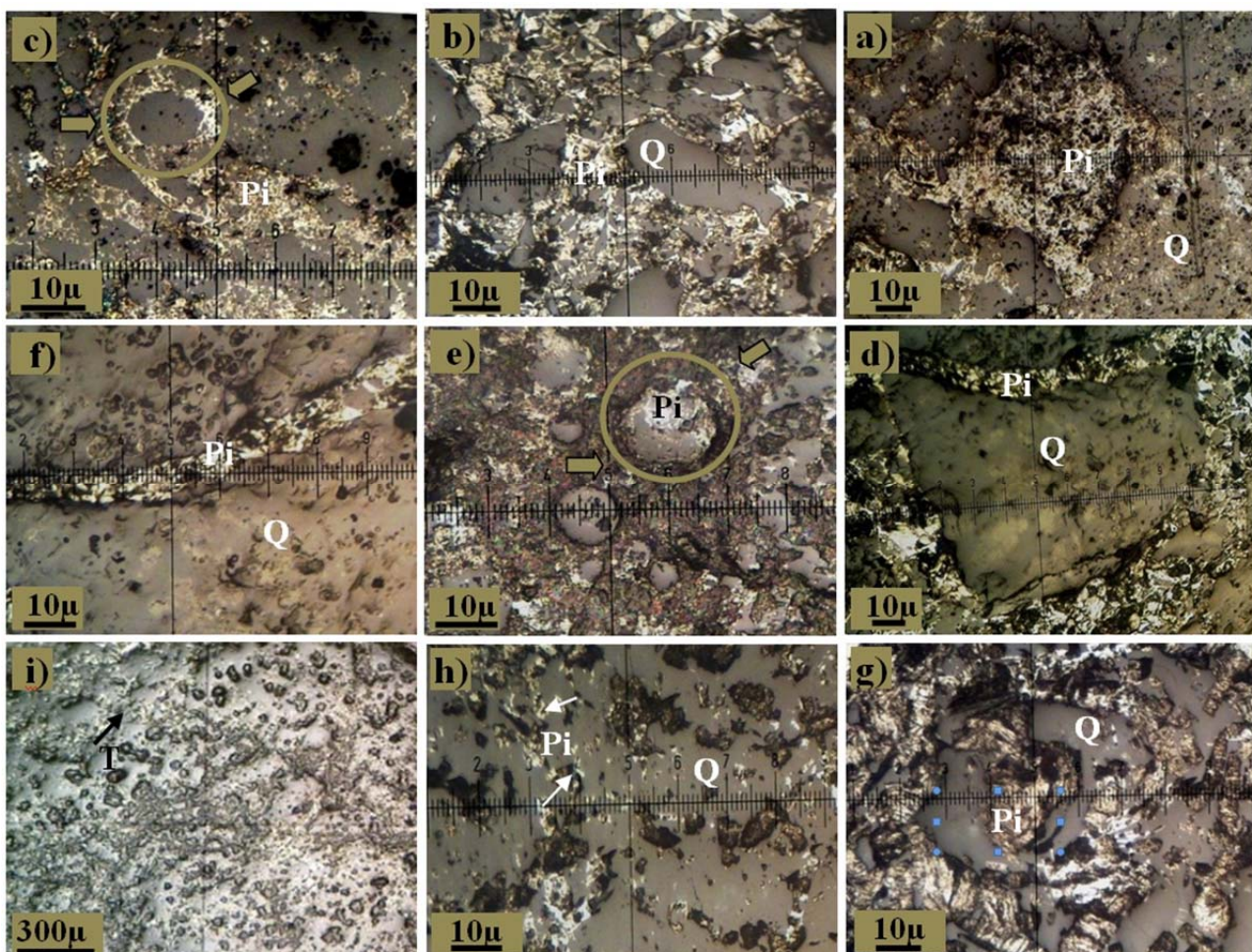
شکل ۲. کانه‌زایی منگنز نصیرآباد a) نودول‌های منگنزدار، b) لایه‌های منگنزدار

تغییرات ایزوتوب سرب برای نمونه‌های لایه‌ای و نودول‌های منگنزدار منطقه نصیرآباد بسیار گستردۀ است (جدول ۱). این موضوع می‌تواند نشان‌دهنده عدم رسوبر منگنز به طور مستقیم از آب دریا و تحت تأثیر فرآیندهای مطلقًا آبزاد در کانسار مورد مطالعه باشد [۱۷]. یکی از موارد استفاده ایزوتوب‌های سرب، ردیابی فرآیندهای گرمابی دخیل در تمرکز فلزات است، زیرا دامنه تغییرات ایزوتوبی این نوع ذخایر مشابه بازالت‌های منشأ سیال گرمابی می‌باشد [۱۹] به عنوان مثال مطالعه سنگهای بازالتی در Easter Microplate نشان‌دهنده مقادیر  $^{207}\text{Pb}/\text{Pb}^{204}$  (۱۸/۴۸۴-۱۸/۲۹۶)،  $^{206}\text{Pb}/\text{Pb}^{204}$  (۱۵/۴۶۷) است [۲۰] که دامنه تغییرات ایزوتوب‌های سرب ناچیز و مشابه با رسوبات گرمابی این منطقه می‌باشد [۲۰]. شکل ۴ نشان‌دهنده نمودار  $^{206}\text{Pb}/\text{Pb}^{204}$  در مقابل  $^{207}\text{Pb}/\text{Pb}^{204}$  از [۲۱] است. در این نمودار محدوده رسوبات پلازیک، نودول‌های آبزاد منگنز، رسوبات گرمابی TAG در اقیانوس اطلس و بازالت مورب در اقیانوس اطلس شمالی نشان داده شده است. علی‌رغم دامنه گستردۀ داده‌ها، میانگین و برآیند داده‌های ایزوتوبی نمونه‌های

زمین‌شیمی مقادیر مطلق ایزوتوب‌های  $^{208}\text{Pb}$ ،  $^{207}\text{Pb}$ ،  $^{206}\text{Pb}$  و همچنین نسبتهای ایزوتوبی  $^{208}\text{Pb}/\text{Pb}^{204}$ ،  $^{207}\text{Pb}/\text{Pb}^{204}$ ،  $^{206}\text{Pb}/\text{Pb}^{204}$  در جدول ۱ نشان‌داده شده است. طبق نظر Frank [۱۵] و Meynadier [۵] منشأ احتمالی سرب در ذخایر منگنز موجود در بستر اقیانوسها می‌تواند ناشی از فرسایش و حمل مواد (به صورت محلول و یا سوسپانسیون) از منشأ قاره‌ای، ذرات گردوغبار را یافته به حوضه اقیانوسی توسط باد، از منشأ جبهای و بر اثر ورود سیالات گرمابی بستر اقیانوس در محل پشته‌های اقیانوسی و یا بر اثر فرسایش مواد جزایر قوسی اقیانوسی باشد. علاوه‌بر این سرب می‌تواند در خلال چرخش توده‌های آب اقیانوسی در ذخایر منگنز حضور پیدا کند [۱۶]. ذخایر آبزاد منگنز و بهویژه نودول‌های منگنز معنکس‌کننده ترکیب ایزوتوبی آب دریا می‌باشند [۱۷]. این میزان برای  $^{206}\text{Pb}/\text{Pb}^{204}$  (۱۹/۰۹-۱۸/۶۸)،  $^{207}\text{Pb}/\text{Pb}^{204}$  (۱۵/۶۰-۱۵/۷۱)،  $^{208}\text{Pb}/\text{Pb}^{204}$  (۳۹/۲۵-۳۸/۵۱) است [۱۸]. همان‌طور که مشاهده می‌شود، میزان تغییرات ایزوتوب سرب برای آب دریا معتدل و ناچیز است. در نتیجه ذخایر منگنز به وجود آمده از فرآیندهای آبزاد نیز دارای همین دامنه تغییرات می‌باشند.

احتمالی ایزوتوب‌های سرب از منشأ آذرین می‌باشد.

لایه‌ای و نodule‌های منگنز در محدوده بازالت‌ها قرار می‌گیرند. این موضوع احتمالاً نشان‌دهنده منشأگیری و یا تأثیرپذیری



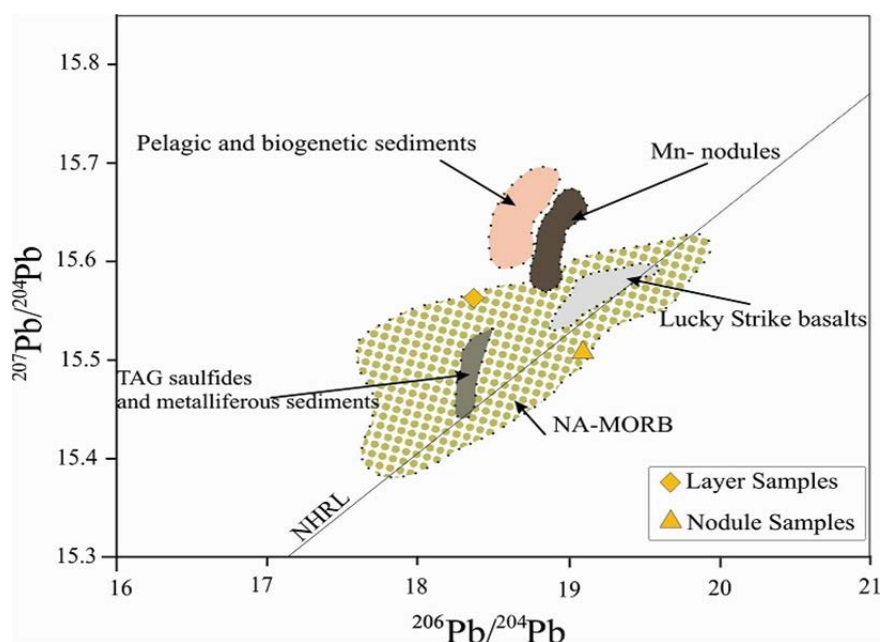
شکل ۳. a) پیرولوژیت (Pi) به صورت پرکننده فضای خالی باطله (b) به صورت پرکننده درز و شکستگی‌های سنگ میزبان (c) پیرولوژیت‌های حلقوی احاطه‌کننده دانه‌های کوارتز (Q) (d) پیرولوژیت به صورت احاطه‌کننده باطله (e) جانشینی پیرولوژیت در پوسته رادیولاریت (f) رگه و رگه‌چهای پیرولوژیت (g) بلورهای توسعه‌یافته و با رخ مشخص پیرولوژیت به صورت همزمان زایش با کوارتز (h) بلورهای دانه‌بریز و تیغه‌ای پیرولوژیت به صورت ادخال در کوارتز (g) بلورهای ریز تودروکیت (T) پرکننده در میان کوارتز

تشخیص فرآیندهای نهشته شدن سریع طی فرآیندهای گرمابی و یا فرآیندهای حاصل از ورود مواد آواری به درون حوضه رسوی استفاده کنند. نسبت‌های  $U/Th$  بالاتر از یک نشان‌دهنده نهشته شدن سریع در حضور سیالات گرمابی و تأثیر کمتر مواد آواری است. جدول ۱ نشان‌دهنده میزان  $U/Th$  برای کلیه نمونه‌ها می‌باشد. نمونه‌های مطالعه شده دارای طیف گستره‌های از مقادیر کمتر از یک تا بسیار بزرگ‌تر از یک می‌باشند که این موضوع می‌تواند نشان‌دهنده تأثیر همزمان فرآیندهای گرمابی همراه با ورود مواد آواری به درون

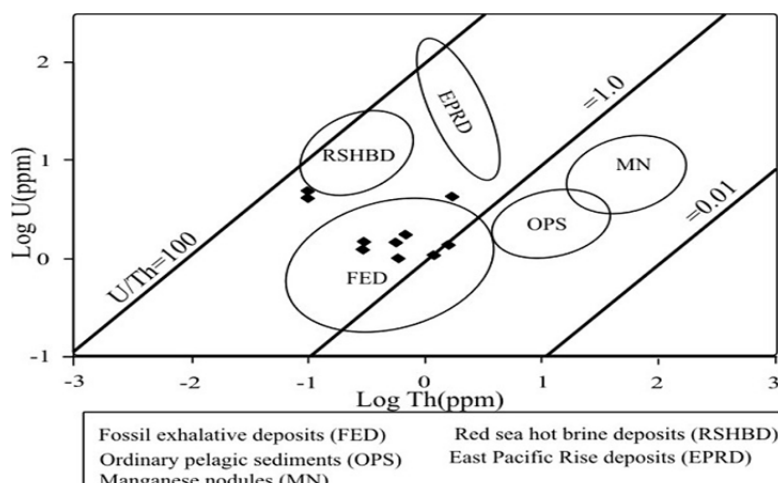
از عنوان عنصری با میدان پایداری بالا (HFSE) نام برده می‌شود، این عنصر تحت تأثیر فرآیندهای رایج تفریق زمین‌شیمیایی در محیط اقیانوسی قرار نمی‌گیرد و حضور این عنصر در ذخایر منگنز به مواد آواری نسبت داده می‌شود [۲۲]، از طرف دیگر تحرک و انحلال‌پذیری عنصر U در محیط‌های زمین‌شیمیایی ثابت شده و طبق نظر [۲۱] فعالیت دودکش‌های گرمابی می‌تواند باعث ارتقای غلظت اورانیوم در رسوبات شود. مجموعه این عوامل باعث شده تا محققانی همچون [۲۳] از نسبت‌های  $U$  و  $Th$  به عنوان شاخصی برای

نسبت به عناصر HREE، نسبتهای  $\text{La}_N/\text{Nd}_N$  (میانگین ۴/۵) و مقادیر  $\text{Dy}_N/\text{Yb}_N$  (میانگین ۱/۲)، نمودار سه متغیره  $(\text{Cu}+\text{Ni}+\text{Co})^*10-\text{Fe}-\text{Mn}$  تفکیک ذخایر منگنز رسوی و گرمابی، همگی نشان‌دهنده نقش‌آفرینی سیال گرمابی کانه‌دار در منطقه مورد مطالعه می‌باشند [۲۵].

حوضه اقیانوسی نئوتیس در محل شکل‌گیری کانسار باشد. شکل ۵ نشان‌دهنده نمودار دوتایی U-Th [۲۶] است. در این نمودار نمونه‌های لایه‌ای و نodule‌های منگنزدار در محدوده نهشته‌های برون‌دمی قدیمی قرار می‌گیرند. البته شواهد دیگری مانند نسبتهای بالای آهن به منگنز (۴/۵ - ۸۷/۵۴)،  $\text{Mn}/\text{Fe}=28830 \text{ ppm}$  (Mn/Fe=)، محتوای باریم بالا (Mn/Fe=)، LREE غلظت‌های پایین سرب (Mn/Fe= ۲ ppm)، غنی‌شدگی



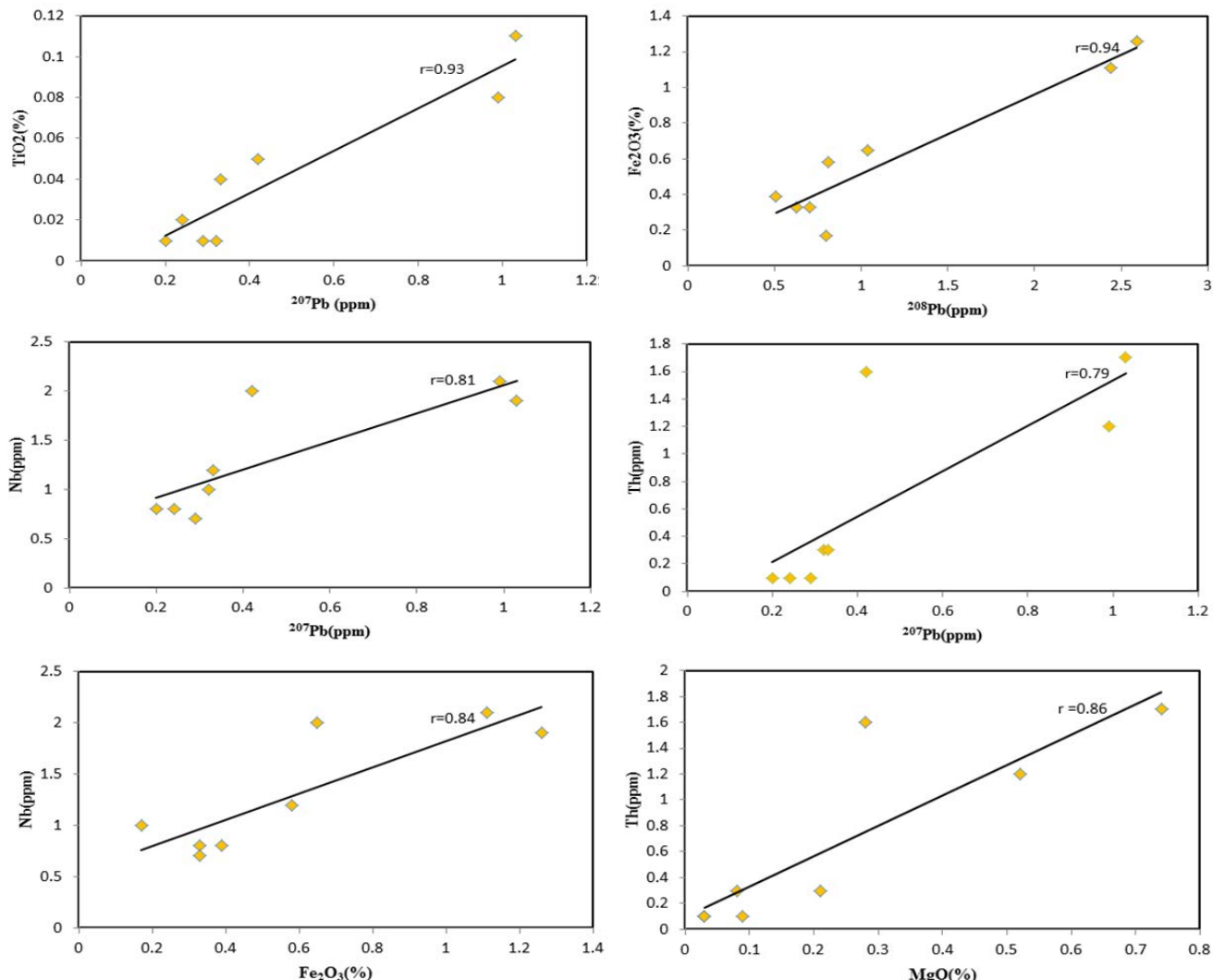
شکل ۴. نمودار  $^{206}\text{Pb}/\text{Pb}^{204}$  در مقابل  $^{207}\text{Pb}/\text{Pb}^{204}$  از [۲۱]، نمونه‌های لایه‌ای و نodule‌های منگنزدار در محدوده North Atlantic –MORB (NA-MORB) قرار می‌گیرند.



شکل ۵. نمودار U در مقابل Th [۲۶]

اجزای مافیک نظیر  $MgO$  و  $Fe_2O_3$  نیز همبستگی قوی دارند. همبستگی قوی میان عناصر شناساگر مواد آواری ( $Al_2O_3$ ,  $TiO_2$ ,  $Nb$ ,  $Th$ ) با تعدادی از اجزای مافیک سازنده سنگها نظیر  $MgO$  و  $Fe_2O_3$  نشان می‌دهد مواد آواری ورودی به حوضه رسوی از جنس مافیک می‌باشد. از طرفی میان فراوانی مطلق ایزوتوب‌های رادیوزنیک  $^{208}Pb$ ,  $^{207}Pb$  و  $^{206}Pb$  و مواد آواری مافیک همبستگی قوی وجود دارد (شکل ۶). این موضوع نشان‌دهنده مخلوطشدن ایزوتوب‌های سرب از منشأ آواری با ایزوتوب‌های سرب اولیه سیال گرمابی است.

مطالعات ضرایب همبستگی میان کلیه نمونه‌ها اعم از نمونه‌های لایه‌ای و نودول‌های منگنز نشان‌دهنده وجود همبستگی قوی میان فراوانی مطلق ایزوتوب‌های رادیوزنیک  $^{208}Pb$ ,  $^{207}Pb$ ,  $^{206}Pb$  و  $Al_2O_3$  و  $Fe_2O_3$  و عناصری همچون  $TiO_2$  و آلومینیوم است (شکل ۶). حضور عناصری همچون تیتانیوم و آلومینیوم در رسوبات دریایی نشان‌دهنده ورود مواد آواری به درون حوضه رسوی است [۲۲]. از طرف دیگر ایزوتوب‌های رادیوزنیک سرب با عناصر (HFSE) نظیر  $Nb$  و  $Th$  که نمی‌توانند به صورت محلول همراه با سیال گرمابی حرکت کنند همبستگی قوی دارند. علاوه بر این  $Th$  و  $Nb$  با پارهای از



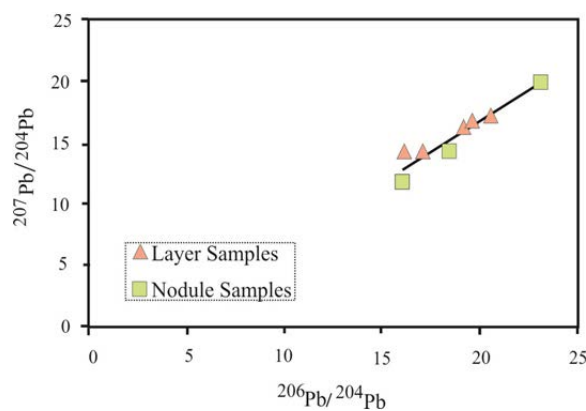
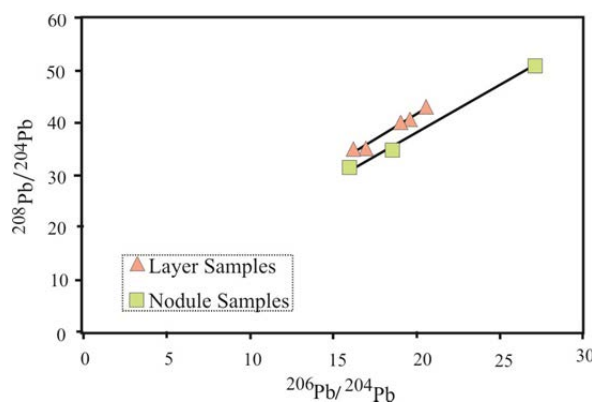
شکل ۶. ضریب همبستگی قوی میان مقادیر مطلق ایزوتوب‌های سرب و اجزای آواری نظیر  $Th$ ,  $Nb$ ,  $TiO_2$ ,  $Al_2O_3$ ,  $Fe_2O_3$ ,  $MgO$  و  $Fe_2O_3$ .

علی‌رغم گسترده‌گی و دامنه وسیع، نسبتهای ایزوتوبی سرب نمونه‌های لایه‌ای و نودول‌های منگنز دارای روند خطی مشابه

نسبتهای ایزوتوب رادیوزنیک  $^{206}Pb/Pb^{204}$  در مقابل  $^{207}Pb/Pb^{204}$  و  $^{208}Pb/Pb^{204}$  در شکل ۷ نمایش داده شده‌اند.

ایزوتوب سرب به صورت سیستم بسته باقی مانده‌اند و از نسبتهای ایزوتوبی سرب اولیه یکسانی برخوردار بوده‌اند [۲۷].

می‌باشند. این موضوع نشان‌دهنده وجود شرایط زمین‌شیمیایی بکسان در شکل گیری نodule‌ها و لایه‌های منگنزدار می‌باشد [۲۶] این موضوع همچنین نشان می‌دهد که نمونه‌ها نسبت به



شکل ۷. نمودار  $^{206}\text{Pb}/^{204}\text{Pb}$  در مقابل  $^{207}\text{Pb}/^{204}\text{Pb}$  برای نمونه‌های لایه‌ای و نodule‌های منگنز نصیرآباد

نیز می‌تواند از علل پراکندگی نسبتهای ایزوتوبی سرب قلمداد شود [۲۰]. در محیط‌های زمین‌شیمیایی عنصر اورانیوم نسبت به توریوم از انحلال پذیری و تحرک بیشتری برخوردار است [۲۸] علی‌رغم وجود مقادیر غیریکنواخت در نسبتهای ایزوتوبی رادیوژنیک، شکل ۷ نشان‌دهنده روند خطی میان نسبتهای سرب رادیوژنیک در نمودار  $^{206}\text{Pb}/^{204}\text{Pb}$  در مقابل  $^{208}\text{Pb}/^{204}\text{Pb}$  است. نمونه‌های نodule‌ی و لایه‌ای نشان‌دهنده روند خطی تقریباً مشابه، در این نمودار می‌باشند. این موضوع اولاً نشان‌دهنده وجود شرایط زمین‌شیمیایی تقریباً بکسان برای شکل گیری نodule‌ها و لایه‌های منگنزدار است [۲۶]، ثانیاً سیستم زمین‌شیمیایی بسته برای ایزوتوب‌های سرب را نشان می‌دهد. با توجه به انحلال پذیری و تحرک اورانیوم در محیط‌های زمین‌شیمیایی، وجود رابطه خطی قوی میان نسبتهای ایزوتوبی رادیوژنیک  $^{206}\text{Pb}/^{204}\text{Pb}$  در مقابل  $^{208}\text{Pb}/^{204}\text{Pb}$  نشان‌دهنده توسعه‌نیافتنگی دگرسانی و فرایندهای شستشو و نهشت دوباره منگنز در منطقه مورد مطالعه می‌باشد.

همان‌طور که پیشتر ذکر شد شواهدی همچون عدم وجود فازهای کانیایی آهن‌دار در مطالعات پتروگرافی و XRD و نیز نسبتهای بالای منگنز به آهن ( $\text{Mn}/\text{Fe} = ۸۷/۵۴$ ) نشان‌دهنده جدایش کامل آهن از منگنز در خلال فاصله‌گیری سیال گرمابی از محل دودکش منشأ آن می‌باشد. در نتیجه سیال

### بحث و نتیجه‌گیری

مطالعات پتروگرافی نشان‌دهنده حضور غالب فازهای منگنزدار (پیرولوژیت و تودوروکیت) است. هیچ نوع فاز آهن‌داری در نتایج آنالیز XRD و مطالعات پتروگرافی مشاهده نشد. این موضوع نشان‌دهنده تفریق و جدایش شدید آهن نسبت به منگنز است. جدایش آهن از منگنز و همچنین وجود تودوروکیت‌های اولیه نشانه‌ای بر وجود کانه‌زایی متأثر از سیال گرمابی می‌باشد [۱۴]. قرارگیری نمونه‌ها در محدوده بروندهای قدیمی در نمودار دوتایی Th/U در مقابل [۲۴] نیز نشان‌دهنده منشأگیری کانه‌زایی از فرآیندهای گرمابی است. علاوه‌بر این رخداد محلی و عدم گسترش جانبی کانسار مورد مطالعه می‌تواند از نشانه‌های ورود سیالات گرمابی منگنزدار به درون حوضه رسوی باشد [۱۴].

مقادیر غیریکنواخت نسبتهای ایزوتوبی  $^{206}\text{Pb}/^{204}\text{Pb}$ ،  $^{208}\text{Pb}/^{204}\text{Pb}$ ،  $^{207}\text{Pb}/^{204}\text{Pb}$  (جدول ۱) نشان‌دهنده عدم وجود فرآیندهای یکنواخت گرمابی برای کانه‌زایی منگنز در منطقه مورد مطالعه می‌باشد. از طرفی حضور بافت‌های ثانویه متأثر از فرآیندهای برونزاد (شکل زاد f,e,d,c,b,a<sup>۳</sup>) و نیز حضور کانیهای فرعی تودوروکیت حاصل از دگرسانی پیرولوژیت در تعدادی از نمونه‌ها را می‌توان از علل پراکندگی و ناهمگنی در نسبتهای ایزوتوبی سرب قلمداد کرد [۲۶]. علاوه بر این منشأگیری سیال گرمابی از شستشوی سنگهای غیر همگن

- Hofmann A.W., "Geographic control on Pb isotope distribution and sources in Indian Ocean Fe-Mn deposits", *Geochim. Cosmochim. Acta* 65 (2001) 4303–4319.
- [2] Ling H., Burton K.W., O'Nions R. K., Kamber B. S., Von Blanckenburg F., Gibb A. J., Hein J. R., "Evolution of Nd and Pb isotopes in central Pacific seawater from ferromanganese crusts", *Earth Planet. Sci. Lett* 146, (1999) 1–12.
- [3] Cochran J. K., McKibbin-Vaughan T., Dornblaser M.M., Hirschberg D., Livingston H.D., Buesseler K.O., "<sup>210</sup>Pb scavenging in the North Atlantic and North Pacific Oceans", *Earth Planet. Sci. Lett* 97 (1990) 332–352.
- [4] Oksuz N., "Geochemical characteristics of the Eymir (Sorgun-Yozgat) manganese deposit", *Journal of Rare Earth* 29 (2011) 287–288.
- [5] Meynadier L., Allègre C., O'Nions R. K., "Plate tectonics, radiogenic isotopic tracers and paleoceanography The case of the manganese crusts in the Pacific", *Earth and Planetary Science Letters* 272 (2008) 513–522.
- [6] Sarkarinejad K., "Structures and microstructures related to steady-state mantle flow in the Neyriz ophiolite, Iran", *Journal of Asian Earth Sciences* 25 (2005) 859–881.
- [7] Sarkarinejad K., Godin L., Faghih A., "Kinematic vorticity flow analysis and 40Ar/39Ar geochronology related to inclined extrusion of the HP-LT metamorphic rocks along the Zagros accretionary prism, Iran", *Journal of Structural Geology* 31 (2009) 691–706.
- [8] Shahabpour J., "Tectonic evolution of the orogenic belt in the region located between Kerman and Neyriz", *J. Asian. Earth. Sci* 24 (2005) 405–417.
- [9] Babaie H. A., Ghazi M. A., Babaie A., La Tour T. E., Hassanipak A. A., "Geochemistry of arc volcanic rocks of the Zagros Crush Zone, Neyriz Iran", *Journal of Asian Earth Sciences* 19 (2001) 61–76.
- [10] Ghasemi A., Talbot C. J., "A new tectonic scenario for the Sanandaj-Sirjan Zone (Iran)", *Journal of Asian Earth Sciences* 26 (2006) 683–693.
- [11] Tangestani M., Jaffari L., Vincent R., Maruthi Sridhar, B. B., "Spectral characterization and ASTER-based lithological mapping of an ophiolite complex: A case study from Neyriz ophiolite, SW Iran", *Remote Sensing of Environment* 115 (2011) 2243–2254.

گرمابی، تا محل نهشت کانسار، فاصله زیادی را به صورت محلول طی نموده است. از شواهد دیگر فاصله‌گیری سیال گرمابی، عدم وجود واحدهای آذرین در محدوده منطقه مورد مطالعه است [۲۹]. اگرچه وجود تحرک پذیری برای اورانیوم در ذخایر منگنز نشان داده شده است [۲۶] اما از Th، Nb و TiO<sub>2</sub> به عنوان عناصری با میدان پایداری بالا (HFSE) یاد می‌شود [۲۲]، این عناصر توانایی انتقال به صورت فاز محلول در سیالات گرمابی موجود در محیط اقیانوسی را ندارند [۲۲]. شکل ۶ نشان‌دهنده وجود ضریب همبستگی قوی میان فراوانی مطلق گونه‌های رادیوژنیک سرب <sup>208</sup>Pb، <sup>207</sup>Pb، <sup>206</sup>Pb با شناساگرها می‌باشد که مواد آواری نظیر Th، Nb و TiO<sub>2</sub> به نوعی دلالت بر تأثیرپذیری شدید ایزوتوپ‌های سرب از ورود مواد آواری دارد. از طرف دیگر همبستگی قوی عناصر ذکر شده با اجزای مافیک مانند Mg و Fe نشان می‌دهد، پس از جدایش کامل آهن از منگنز در خلال فاصله‌گیری سیال گرمابی از دودکش منشأ، آهن و منیزیم جداگانه و از منشأ آواری مافیک وارد حوضه کانه‌زایی گرمابی شده‌اند. در نتیجه مخلوط شدن مقادیر ایزوتوپ‌های سرب از دو منشأ گرمابی و مواد آواری سبب ناهمگونی در مقادیر ایزوتوپ‌های سرب شده است. مطالعات اخیر بر روی سنگها در محیط جزیره قوسی درون اقیانوسی است [۶]. نیریز از اواخر تریاس تا اواخر کرتاسه دارای موقعیت جزیره قوسی بوده [۸]. رخداد منگنز در جنوب نصیرآباد به صورت لایه‌ها و نودول‌های منگنز می‌باشد که به صورت بین‌لایه‌ای با رسوبات چرت رادیولاریتی قرار گرفته‌اند. این رادیولاریتها از لحاظ سنی جوانتر از ژوراسیک میانی‌اند [۱۱]. توالیهای رسوبی در محدوده کانسار منگنز نصیرآباد فاقد واحدهای آذرین می‌باشند که این موضوع نشان‌دهنده ورود سیال گرمابی منگنزدار دور از منشأ [۲۹] به درون حوضه رسوبی کانسار نصیرآباد در نئوتیس است که این محیط به شدت متأثر از ورود مواد آواری مافیک به حوضه عمیق اقیانوسی در بازه زمانی ژوراسیک-کرتاسه می‌باشد. احتمال ورود مواد آواری مافیک از فورانهای جزیره قوسی نیریز به درون حوضه رسوبی کانسار منگنز نصیرآباد چندان دور از ذهن نیست.

#### مراجع

- [1] Vlastelic I., Abouchami W., Galer S. J. G.,

- Stummeyer J., "Mineralogical and geochemical evidence for hydrothermal activity at the west wall of 50° 12N core complex (Mid-Atlantic ridge): A new ultramafic-hosted seafloor hydrothermal deposit?", *Marine Geology* 288 (2011) 90-102.
- [22] Maynard J., "The Chemistry Of Manganese Ores through Time: A Signal Of Increasing Diversity of Earth-Surface Environments", *Economic Geology* 105 (2010) 535-552.
- [23] Heshmatbehzadi K., Shahabpour j., "Metallogeny of Manganese and Ferromanganese Ores in Baft Ophiolitic Mélange, Kerman, Iran" *Australian Journal of Basic and Applied Sciences* 4 (2010) 302-313.
- [24] Rona, P., Bostrom K., Laubier L., Smith K., "Hydrothermal processes at Sea floor spreading centers", Published in cooperation with NATO Scientific Affairs Division (1983) 796.
- [25] Zaravandi A., Lentz D., Rezaei M., Pourkaseb H., "Genesis of the Nasirabad Manganese Deposit, Fars province, Iran: Mineralogical-Geochemical Evidences", *Chemie der Erde/Geochemistry* (Under review).
- [26] Ehrlich S., Harlavan Y., Bar-Matthews M., Halicz L., "Lead and uranium isotopic behavior in diagenetic and epigenetic manganese nodules, Timna Basin, Israel, determined by MC-ICP-MS", *Applied Geochemistry* 19 (2004) 1927–1936.
- [27] Faure G., "Principles of Isotope Geology", Wiley, New York (1986) 589.
- [28] Bar-Matthews M., "Mineralization of Uranium and other metals in Timna Formation, Timna Valley", Ph.D. Thesis, Hebrew University Jerusalem (1986).
- [29] Mucke A., Adjimah K., Annor A., "Mineralogy, Petrography, geochemistry and genesis of the Paleoproterozoic Birimian Manganese-formation of Nsuta/Ghana". *Mineralium Deposita* 34 (1999) 297-311.

- [12] Alavi M., "Regional stratigraphy of the Zagros fold-thrust belt of Iran and its proforeland evolution", *American Journal of Science* 304 (2004) 1-20.
- [13] Usui A., Someya M., "Distribution and composition of marine hydrogenetic and hydrothermal manganese deposits in the northwest Pacific", *Geological Society Special* 19 (1997) 177– 198.
- [14] Jach R., Dudek T., "Origin of a Toarcian manganese carbonate/silicate deposit from the Krzna unit, Tatra Mountains, Poland", *Chemical Geology* 224 (2006) 136–152.
- [15] Frank M., "Radiogenic isotopes: tracers of past ocean circulation and erosional input", *Rev. Geophys* 40 (2002) 1001-1019.
- [16] Tomczak M., Godfrey, J. S., "Regional Oceanography", An Introduction. 2<sup>ème</sup> ed (2003) Daya, New-Dehli (India).
- [17] Terakado Y., Walker R. j., "Nd, Sr and Pb isotopic and REE geochemical study of some Miocene submarine hydrothermal deposits (Kuroko deposits) in Japan", *Contrib Mineral Petro* 149 (2005) 388–399.
- [18] Abouchami W., Goldstein S. L., "A lead isotopic study of circum-Antarctic manganese nodules", *Geochim. Cosmochim. Acta* 59 (1995) 1809–1820.
- [19] Booij E., Bettison-Varga L., Farthing D., Staudigel H., "Pb-isotope systematics of a fossil hydrothermal system from the Troodos ophiolite, Cyprus: Evidence for a polyphased alteration history", *Geochimica et Cosmochimica Acta* 64 (2000) 3559–3569.
- [20] Verati C., Lancelot J., He'kinian R., "Pb isotope study of black-smokers and basalts from Pito Seamount site \_Easter microplate", *Chemical Geology* 155 (1999) 45–63.
- [21] Delkov V., Boycheva T., Hålenius U., Billström K., Kamenov G. D., Shanks W. C.,